

# 籽粒在摘脱装置内运动轨迹的理论分析<sup>3</sup>

蒋恩臣 蒋亦元  
(东北农业大学)

**摘要:** 建立了籽粒自由运动微分方程式, 对籽粒与外壳的碰撞过程进行了动力学分析, 从理论上建立起结构参数和运动参数与籽粒运动轨迹之间的联系。

**关键词:** 摘脱装置; 籽粒; 轨迹; 碰撞

## 1 微分方程的建立

在进行脱出物的运动分析时, 作以下假设: 1) 假设籽粒为球形物体; 2) 不考虑脱出物间的相互影响; 3) 气流对籽粒的作用力按公式  $P = m k_0 v^2$  计算, 其中  $m$  为脱出物质量,  $v$  为一气流相对于脱出物的速度, 即  $\vec{v} = \vec{u} - \vec{w}$  ( $\vec{u}$  和  $\vec{w}$  分别为气流和脱出物的速度),  $k_0$ —漂浮系数。

在运动过程中, 作用于物体上的力有重力  $mg$ , 方向向下, 和气流作用力  $P$ , 方向与气流相对速度  $\vec{v}$  的方向相同。现将籽粒放在极坐标中进行分析求解。如图 1 所示。设以  $A$  表示极角,  $r$  表示极径,  $\hat{r}_0$  和  $\hat{\theta}_0$  表示沿半径和旋转方向的单位矢量,  $B$  为  $\vec{w}$  与极径  $\hat{r}_0$  之间的夹角,  $U$  为气流速度方向与  $\hat{r}_0$  间的夹角,  $K$  为相对速度  $\vec{v}$  与  $\hat{r}_0$  之间的夹角。

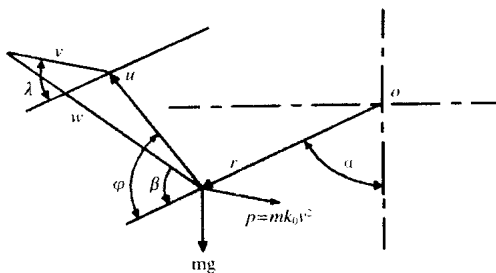


图 1 籽粒运动受力分析

Fig 1 Analysis of the forces acting on grain

在极坐标系中加速度的表达式为

$$\vec{a} = (\ddot{r} - r\dot{A}^2)\hat{r}_0 + (r\ddot{A} + 2\dot{r}\dot{A})\hat{\theta}_0 \quad (1)$$

将作用力向  $\hat{r}_0$  和  $\hat{\theta}_0$  两方向上投影得

$$\ddot{r} - r\dot{A}^2 = g \cos A - k_0 v^2 \cos K$$

$$r\ddot{A} + 2\dot{r}\dot{A} = -g \sin A - k_0 v^2 \sin K$$

上式可以分解为

$$\ddot{r} - r\dot{A}^2 = g \cos A - k_0 v^2 \cos K \quad (2)$$

$$r\ddot{A} + 2\dot{r}\dot{A} = -g \sin A - k_0 v^2 \sin K \quad (3)$$

如图所示:

$$v \cos K = w \cos B - u \cos U = \dot{r} - u \cos U \quad (4)$$

$$v \sin K = w \sin B - u \sin U = r\dot{A} - u \sin U \quad (5)$$

由三角关系可得

$$v^2 = w^2 + u^2 - 2wu \cos(U - B) \\ = w^2 + u^2 - 2wu(\cos U \cos B + \sin U \sin B)$$

因为  $w \cos B = \dot{r}$ ,  $w \sin B = r\dot{A}$ ,  $w = \sqrt{\dot{r}^2 + (r\dot{A})^2}$

所以有

$$v^2 = \dot{r}^2 + r^2\dot{A}^2 + u^2 - 2u(\dot{r} \cos U + r\dot{A} \sin U) \\ v = \sqrt{\dot{r}^2 + r^2\dot{A}^2 + u^2 - 2u(\dot{r} \cos U + r\dot{A} \sin U)} \quad (6)$$

将(4)、(5)和(6)式分别代入(2)和(3)式得

$$\ddot{r} = r\dot{A}^2 + g \cos A - k_0 \times \\ \sqrt{\dot{r}^2 + (r\dot{A})^2 + u^2 - 2u(\dot{r} \cos U + r\dot{A} \sin U)} (\dot{r} - u \cos U) \quad (7)$$

$$\ddot{A} = \frac{1}{r} [-2\dot{r}\dot{A} - g \sin A - k_0 \times \\ \sqrt{\dot{r}^2 + (r\dot{A})^2 + u^2 - 2u(\dot{r} \cos U + r\dot{A} \sin U)} (r\dot{A} - u \sin U)] \quad (8)$$

这就是运动轨迹微分方程式。此方程为非线性的, 非常数的, 一般形式的二阶常微分方程组, 很难获得其运动方程的精确解, 只能采用数值解法进行求解计算, 对此微分方程可做如下变换:

$$\text{令 } y_1 = r; y_2 = \dot{r}; y_3 = \dot{A}; y_4 = \ddot{A}$$

$$\text{则方程(7)和(8)变为 } y_1' = y_2 \quad (9)$$

$$y_2' = y_1 y_4 + g \cos y_3 - k_0 \times$$

$$\sqrt{u^2 + y_2^2 + y_1^2 y_3^2 - 2u(y_2 \cos U + y_1 y_4 \sin U)} (y_2 - u \cos U) \quad (10)$$

$$y_3' = y_4 \quad (11)$$

收稿日期: 1999211205

3 国家自然科学基金资助项目(59605011)

蒋恩臣, 博士, 副教授, 哈尔滨市香坊区东北农业大学工程学院, 150030

$$y_4' = \frac{1}{y_1} [-2y_2y_1y_4 - g \sin y_3 - k_0 \sqrt{u^2 + y_2^2 + y_1y_4^2 - 2u(y_2 \cos U + y_1y_4 \sin U)} (y_1y_4 - u \sin U)] \quad (12)$$

方程组(9)~(12)已变为一阶微分方程组,可以用龙格—库塔法(Runge-kutta)求解<sup>[2]</sup>。

上述微分方程组反映了脱出物仅在气流作用下自由运动的情况,没反映护罩及输送管路的影响。实际上,脱出物在运动过程中还将与护罩、输送管路发生碰撞,故必须考虑护罩和输送管路的形状。

### 2 护罩及输送管路的极坐标方程式

护罩及输送管路的形状如图2所示,其中护罩为渐扩形,并通过一圆弧过渡到输送管路上板。输送管路的上、下板为2条平行的直线。

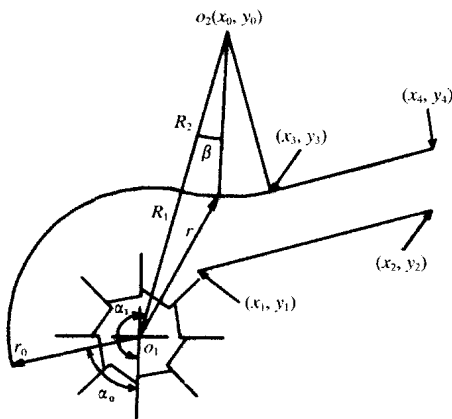


图2 护罩及输送管路的结构

Fig 2 The structures of the hood and the suction conduit

#### 2.1 护罩的数学方程式

护罩的形状为渐扩形,其数学表达式为

$$r = r_0 + a(A - A_0) \quad (A - A_0) \quad (13)$$

式中  $r_0$ —起始半径,  $A_0$ —起始角,  $a$ —系数,  $A$ —护罩段最大极角。

#### 2.2 过渡圆弧的数学方程式

过渡圆弧是一段以  $(x_0, y_0)$  为圆心,以  $R_2$  为半径的圆弧,在极坐标下有列关系式成立

$$r \sin(A - A_0) = R_2 \sin B$$

$$r \cos(A - A_0) = (R_1 + R_2) - R_2 \cos B$$

两式两边平方,相加得

$$r^2 - 2R r \cos(A - A_0) + 2R_1 R_2 + R_2^2 = 0$$

其中  $R = R_1 + R_2$

该方程的解为

$$r = R \cos(A - A_0) -$$

$$\sqrt{R^2 \cos^2(A - A_0) - (R_1^2 + 2R_1 R_2)} \quad (A < A_0 + A_0) \quad (14)$$

其中  $A$  和  $A_0$  分别为过渡圆弧始末位置对应的极角。

### 2.3 输送管路上下板数学方程式

输送管路上下底板为相互平行的直线,在极坐标系下的数学方程式可分别为

$$r = \frac{(y_1 - kx_1)}{(k \sin A - \cos A)} \quad (15)$$

$$r = \frac{(y_3 - kx_3)}{(k \sin A - \cos A)} \quad (16)$$

式中  $x_3, y_3$  和  $x_1, y_1$ —分别为上下板前 endpoint 坐标;  $k$ —直线斜率。

### 3 脱出物与外壳碰撞过程分析

如图3所示,设外壳的轨迹为  $M$ ,其极坐标方程统一表示为  $r = r(A)$

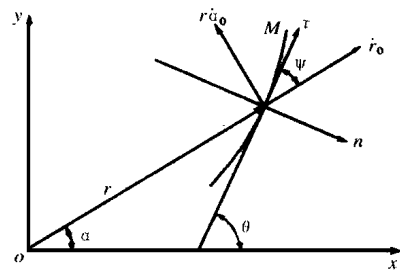


图3 籽粒与外壳碰撞过程分析

Fig 3 Analysis of the dynamics of the grain impact against the hood

利用直角坐标与极坐标的关系  $x = r \cos A, y = r \sin A$  则方程组  $x = r(A) \cos A, y = r(A) \sin A$  变为参数方程,其中参数为极角  $A$  切线的斜率为

$$y' = \frac{dy}{dx} = \frac{r'(A) \sin A + r(A) \cos A}{r'(A) \cos A - r(A) \sin A} \quad (17)$$

为了确定籽粒与壁面相碰撞后的速度,现将碰撞前一刻的瞬时速度  $v_0$  和  $v_1$  向  $S$  和  $n$  方向上投影:

$$v_{s0} = v_0 \cos W + v_1 \sin W \quad v_{n0} = v_1 \sin W - v_0 \cos W$$

式中  $W$ —为切线与极径  $r$  之间的夹角;  $n$ —曲线在该点处的法线方向,向外为正;  $S$ —切线方向。注脚“0”表示碰撞前速度。

碰撞后,  $v_s$  将保持不变,而  $v_n$  将发生方向变化,以  $k_1 v_{n0}$  的速度沿相反的方向弹回,其中  $k_1$  为弹性恢复系数,碰撞后的速度为

$$v_s = v_{s0} = r_0^a \cos W + r^a \sin W$$

$$v_n = -k v_{n0} = k(r^a \cos W - r_0^a \sin W)$$

再将  $v_s, v_n$  变回到  $r^a$  和  $r^a$  方向上, 则有

$$r^a = v_r = v_s \cos W + v_n \sin W$$

$$= (r_0^a \cos W + r^a \sin W \cos W + k(r^a \cos W - r_0^a \sin W) \sin W$$

$$= r_0^a (\cos^2 W - k \sin^2 W) + r^a \sin W \cos W (1 + k)$$

$$r^a = -v_n \cos W + v_s \sin W$$

$$= -k(r^a \cos W - r_0^a \sin W) \cos W + (r_0^a \cos W + r^a \sin W) \sin W$$

$$= -kr^a \cos^2 W + k r_0^a \sin W \cos W + r_0^a \sin W \cos W + r^a \sin^2 W$$

$$= r_0^a \sin W \cos W (1 + k) + r^a (-k \cos^2 W + \sin^2 W)$$

$$r^a = r_0^a (\cos^2 W - k \sin^2 W) + r^a \frac{1+k}{2} \sin 2W \quad (18)$$

$$r^a = \frac{1+k}{2} r_0^a \sin 2W + r^a (\sin^2 W - k \cos^2 W) \quad (19)$$

利用式(18)和(19)可以求出脱出物与壁面发生碰撞后的速度值  $r^a$  和  $r^a$

$r^a$  与 S 之间的夹角  $W$  求法如下

$$\text{tg} W = \text{tg}(H - A)$$

$$= (\text{tg} H - \text{tg} A) \ddot{o}(1 + \text{tg} A \text{tg} H)$$

$$= (y' - \text{tg} A) \ddot{o}(1 + y' \text{tg} A)$$

将(17)式代入上式得

$$\text{tg} W = \left[ \frac{r' \text{tg} A + r}{r' - r \text{tg} A} - \text{tg} A \right] \frac{1}{1 + \frac{r' \text{tg} A + r}{r' - r \text{tg} A} \text{tg} A}$$

$$= \frac{r(1 + \text{tg}^2 A)}{r'(1 + \text{tg}^2 A)}$$

所以  $\text{tg} W = r \ddot{o} r'$  (20)

利用上式可求出各壁面的  $W$  值  
对护罩有

$$r = r_0 + a(A - A) \quad r' = a$$

代入(20)式得

$$\text{tg} W = \frac{r_0 - aA}{a} + A$$

$$W = \arctg \left[ \frac{r_0 - aA}{a} + A \right] \quad (21)$$

对圆弧过渡段有

$$r = R_1 \cos(A - A) - \sqrt{R^2 \cos^2(A - A) - (R_1^2 + 2R_1 R_2)}$$

$$r' = -R_1 \sin(A - A) + \frac{\cos(A - A) \sin(A - A) R^2}{\sqrt{R^2 \cos^2(A - A) - (R_1^2 + 2R_1 R_2)}}$$

$$\frac{r}{r'} = \frac{R \cos(A - A) - \sqrt{R^2 \cos^2(A - A) - (R_1^2 + 2R_1 R_2)}}{-R \sin(A - A) + \frac{R^2 \cos(A - A) \sin(A - A)}{\sqrt{R^2 \cos^2(A - A) - (R_1^2 + 2R_1 R_2)}}$$

$$= \frac{R \cos(A - A) \sqrt{R^2 \cos^2(A - A) - (R_1^2 + 2R_1 R_2)} - [R^2 \cos^2(A - A) - (R_1^2 + 2R_1 R_2)]}{-R \sin(A - A) \sqrt{R^2 \cos^2(A - A) - (R_1^2 + 2R_1 R_2)} + R^2 \cos(A - A) \sin(A - A)}$$

$$W = \arctg(r \ddot{o} r') \quad (22)$$

对输送管路底板有

$$r = \frac{(y_1 - kx_1)}{(k \sin A - \cos A)}$$

$$r' = (y_1 - kx_1)' - \frac{(k \cos A + \sin A)}{(k \sin A - \cos A)^2}$$

$$\frac{r}{r'} = \frac{1 - k_1 \text{tg} A}{k + \text{tg} A}$$

$$W = \arctg \left[ \frac{1 - k_1 \text{tg} A}{k + \text{tg} A} \right] \quad (23)$$

上板的  $W$  值与此表达式相同。

利用公式(9)~(12)、(18)、(19)、(21)、(22)和(23)可求得各种型式外壳的数学方程并可对碰撞过程进行分析。

### 4 结 语

本文对籽粒在摘脱装置内运动的过程进行了理论分析, 为进行籽粒运动全过程的计算机模拟打下了基础。

#### [参 考 文 献]

[1] 赵学笃, 姜志国 谷粒空气动力特性的试验研究 农业机械学报, 1979, 10(4): 42~ 51

[2] 关治, 陈景良 数值计算方法 北京: 人民教育出版社, 1979

[3] 钱祥征 常微分方程解题方法 长沙: 湖南科学技术出版社, 1984

[4] 蒋恩臣, 蒋亦元 板齿摘脱滚筒流场特性研究 农业工程学报, 2000, 16(1): 59~ 62

## Theoretical Analysis of Grain Motion in the Stripping Unit

Jiang Enchen Jiang Yiyuan

(Northeast Agricultural University, Harbin 150030)

**Abstract:** The differential equations of free grain motion in air flow were developed. The dynamics of the grain impact against the hood and conduit was analysed. As a result, the relationship between structural operating parameters and grain trajectories was theoretically determined.

**Key words:** stripping unit; grain; trajectories; impact